

التوزيع الاحصائي لازمة استهلاك العاقير الحاوية على مواد مخدرة

أ.م.د. منذر عبدالله خليل	أ.م.د. مظفر خالد عبدالحميد	أ.م.د. زينة جنان جودة
كلية علوم الحاسوب والرياضيات	كلية الادارة والاقتصاد	كلية علوم الحاسوب والرياضيات
جامعة تكريت	جامعة تكريت	جامعة تكريت
mun880088@gmail.com	moudher@tu.edu.iq	mun880088@tu.edu.iq

المستخلص:

في عالم اليوم، لا يمثل السلوك الطبيعي لظاهرة استهلاك عاقير طبية حاوية على مواد مخدرة مشكلة كبيرة. لكن انحرف السلوك الطبيعي للإنسان في التعامل مع تلك الظاهرة، سيولد مشاكل جانبية كبيرة ترقى لمستوى الازمة، خصوصاً عندما تتعاطى فئات عمرية معينة عاقير مخدرة، ولا تعرف بدقة مدى خطورة اثارها الجانبية. فالتعامل بشكل خاطئ مع استهلاك تلك العاقير له تداعيات خطيرة، قد تصل إلى الموت. جاء هذه البحث لاقتراح توزيع احصائي يمثل سلوك تلك الظاهرة، بهدف الحصول على الخصائص الرياضية للتوزيع الاحصائي المقترن ودراسة اهم المؤشرات الإحصائية الخاصة به. تم توظيف بيانات منشورة على الشبكة العنكبوتية تخص الوفيات نتيجة استهلاك العاقير الحاوية على المواد المخدرة، وقد عولجت بأفضل التقنيات الإحصائية الحديثة المتمثلة ببرنامج (R). وتوصل الباحثون من خلال تشغيل بيانات البيئة العراقية على التوزيع المقترن إلى مؤشرات تؤكد خطورة تنامي هذه الظاهرة وعدها كأزمة يجب احاطتها والتعامل معها بعناية.

الكلمات المفتاحية: الازمة، العاقير المخدرة، التوزيع الاحصائي، برنامج (R).

The statistical distribution for crisis consumption of drugs containing narcotic substances

Assist. Prof. Dr. Mundher A. khaleel
College of Computer Science and Mathematics
Tikrit University

Assist. Prof. Dr. Moudher K. Abdal-hammed
College of Administration and Economics
Tikrit University

Researcher: Zeena Genan Jawdat
College of Computer Science and Mathematics
Tikrit University

Abstract:

In our world, the natural behavior of the consumption of drugs containing narcotic drugs isn't a big problem. But, the deviation of human behavior in dealing with this phenomenon, will generate significant side problems that rise to the level of crisis, especially when certain age groups are taking drugs narcotic, and do not know the seriousness of its side effects. Dealing with the misuse of these drugs has serious repercussions, which can lead to death. This paper comes to propose a statistical distribution representing the behavior of this phenomenon, in order to obtaining the

mathematical properties of the proposed statistical distribution and studying its most important statistical indicators. Web-based data on mortality resulting from the consumption of drugs containing narcotic substances employed, and treated with the best modern statistical techniques of the R program. The researchers reached through the operation of the Iraqi environment data on the proposed distribution of indicators confirming the danger of this growing phenomenon and its promise as a crisis in which must be surrounded, and deals with carefully.

Keywords: Crisis, Narcotic Drugs, Statistical distribution, Program (R).

المقدمة

عادة ما يهتم الاعلام بقضايا على قدر من الأهمية كالكشف عن الظواهر والأزمات لأول مرة، كونها قضايا راي عام، وغالباً ما تبدأ احصانياً بشكل مبسط بذكر الأرقام لتلامي الظاهرة، متبعاً بأشكال بيانية تعطي مستطاعي الموضوع تصوراً أكثر وضوحاً في قراءة واستشعاراً للخطر من قبل المختصين. فتم التركيز على اقبال الشباب على تعاطي العقاقير المخدرة، كنتيجة لعدم اقتناع المسؤولين بتلامي اعداد المدمنين، ولغياب حملات التوعية والتثقيف لخطورة الإدمان على هذا النوع من العقاقير واضراره مع تواجدها في الصيدليات، وبدون رقابة او ضوابط لصرفها، وعدم وجود آلية لمواجهة المدمنين وطرق علاجهم. مترافقاً مع ضعف البنى التحتية للمؤسسة الصحية كنقص مراكز علاج الإدمان، وتلامي هذه الظاهرة طردياً بين شرائح المجتمع المختلفة، فكل ما سبق ذكره لا يشجع المدمنين منهم على الإقلاع عن تعاطي العقاقير المخدرة. بالإضافة للبنية الاجتماعية السائدة التي تمنعهم من البوح بهذه الممارسات، وخاصة في البدايات الأولى التي تعد أسهل في التعامل مع حالتهم الصحية، يعد ذلك جزءاً من الأسباب التي أوصلتهم لنقطة اللاعودة، وأدت بالسوداء الأعظم منهم إلى النقطة الحاسمة أي تعرض الوافدين لمراحل الإدمان المتقدمة منهم إلى الموت، وذلك كنتيجة لعدم توفر العلاج تحت اشراف مختصين، ولتوقفهم المفاجئ عن تعاطي العقاقير المخدرة، وبقاوهم دون نظام علاجي صارم لخصوصية حالتهم. وتتجدر الإشارة لوجوب التعامل بإنسانية مع المدمنين، بوصفهم طبياً كمرضى بحاجة ماسة للعلاج، ومتابعة المتسببين لوصولهم لهذا المستوى من أجل معاقبتهم ودرء خطرهم.

ذكر مكتب الأمم المتحدة المعنى بالمخدرات والجريمة ان حصاد الأرواح البشرية نتيجة استهلاك المخدرات في عام (٢٠١٤) يقدر بحوالي (١٨٣٠٠٠) حالة وفاة جمعيها ذات صلة بالمخدرات، وضمن مدى مقدر بـ (٩٥٠٠٠-٢٢٦٠٠٠)، وفقاً لذلك التقرير فإن معدل الوفيات بلغ (٤٠،٠٠) حالة لكل مليون، وضمن الاعمار المحصورة ما بين (١٥-٦٤) سنة أي ضمن المدى (٤٩,٣-٢٠,٨) سنّه. وقد أشار نفس التقرير الى انه في عام (٢٠١٢) ان هناك تلامي بأعداد الذين يتعاطون المخدرات بالحقن حتى بلغ (٧,١٢) مليون نسمة ضمن مدى (٤٢,٢٢-٤,٤٩) مليون، بمعدل انتشار بلغ (٢٧%) ضمن مدى (٤٨%-١٩%). من السكان الذين في سنّ (١٥-٦٤) سنة، في إشارة لفرصة كبيرة لانتقال الامراض الخطيرة كنقص المناعة او التهاب الكبد الفيروسي صنف (C)، والتي تصنف ضمن الامراض المؤدية الى الموت لصعوبة النجاة منها، هذا إضافة لصعوبة الشفاء من الإدمان بالحقن (تقرير المخدرات العالمي، ٢٠١٤: ٤-٨).

حاول البعض تناول الموضوع بهدف إيجاد صيغ رياضية، لغرض بيان سلوك الظاهرة، بغية الحصول على توزيع احصائي يخص الظاهرة. علماً انه لا يوجد مثل هذا التوزيع الذي يصف

الظاهره حصراً. تنصب جهودنا على إيجاد هذا التوزيع بالاعتماد على أسلوب احصائي حديث، مفاده توليد توزيع احصائي جديد يمتاز بالمرنة العالية، لوصف أنواع مختلفة من الظواهر الطبيعية، بناءً على إضافة معلمة او أكثر من معالم الشكل على PDF التوزيع الأساسي. حيث قام كل من (Marshall, and Olkin, 1997) (Oguntunde et al., 2018)، في عام (Weibull and Exponential)، قام بتوسيع التوزيع الاسي لوصف بعض البيانات بإضافة معلمة شكل جديدة الى التوزيع الاسي، وفي العام ذاته (2018) تناول عبدالحميد وآخرين إيجاد توزيع احتمالي لدراسة زخم المرضى المراجعين لوحدة صحية تم افتتاحها حديثاً بأسلوب Weibull-G family. وفيها أيضاً تم توسيع توزيع Exponential وذلك لمرونته بهدف دراسة بيانات سلوك ظاهرة رياضية وهندسية من قبل (Oguntunde et al.,).

كذلك قام (Khaleel et al., 2019) بإضافة معلمة الى التوزيع المنتظم لإيجاد معدل الفشل في التطبيقات الطبية باستخدام المحاكاة. في حين قام (Oguntunde et al., 2019) بإيجاد توزيع احصائي لوصف سلوك ظاهرة مرضى سرطان الراس والرقبة. ولدراسة سلوك ظاهرة مرضى السرطان قام (Maxwell et al., 2019) بإيجاد توزيع معکوس لوماكس لوصف تلك الظاهرة. وفي نفس العام تم إيجاد توزيع يصف ظاهرة مرضى سرطان الثدي من قبل (AbuJarad et al.,). وقام Ahmedd بدراسة اورام الثدي في احدى مستشفيات جمهورية مصر العربية باستخدام توزيع Exponential Distribution (Topp Leone Marshall-Olkin). لم يتوقف الجهد العلمي بدراسة سلوك الظواهر الطبيعية بشكل عام و الطبية بشكل خاص، و عليه سنقوم بتوظيف تلك الدراسات القيمة من أجل دراسة سلوك ظاهرة استهلاك العاقير الطبية، باعتبار ان عدم وضعها تحت الرقابة المشددة يجعل من استهلاكها ليس للأغراض الصحية، و انما للإدمان و طلب النشوء الذي يعد متعطل لفعاليات الإنسان الحيوية، وان كثرة انتشارها قد اصبح ظاهرة خرجت عن سيطرة الجهات الرقابية الصحية و أصبحت لها تداعيات امنية قد صنفت ضمن ملفات الامم المتحدة (منشورات الأمم المتحدة، رقم المبيع A.14.x1.7) على انها ظاهرة غير صحية و انتشارها ضمن مديات معينة يعد ازمة لابد من الوقوف بوجهها و معالجتها لكون تداعياتها ذات ابعاد مؤثرة على المجتمع بشكل عام و تشوه الاجيال بشكل خاص. تضمن البحث الاول من البحث ايجاد التوزيع المقترن دالة كثافة احتمالية (PDF) و دالة كتلة احتمالية (CDF). وتناول المبحث الثاني ايجاد توسيع لدالة PDF. اما المبحث الثالث تضمن ايجاد دراسة اهم الخصائص الرياضية للتوزيع المقترن. وتقدير معلمات التوزيع باستخدام طريقة الامكان الاعظم في المبحث الرابع. في المبحث الخامس وتم التأكد من مطابقة التوزيع على بيانات استهلاك العاقير الطبية. وختم البحث بالاستنتاجات والتوصيات.

١. توزيع (Marshall-Olkin exponential exponentiated exponential (MOEEE))
 ليكن لدينا توزيع Exponentiated exponential بدلالة كتلة احتمالية CDF، و دالة كثافة احتمالية PDF على التوالي، وكالاتي:

$$F(x; \omega, b) = (1 - e^{-\omega x})^b \quad \omega, b > 0, x > 0 \quad (1)$$

$$f(x; \omega, b) = \omega b e^{-\omega x} (1 - e^{-\omega x})^{b-1} \quad (2)$$

حيث ان b تمثل معالم الشكل للتوزيع الاساسي ولتكن لدينا دالة كتلة احتمالية CDF، ودالة كثافة احتمالية، PDF للعائلة Marshall Olkin-G (MO-G)

$$G(x; \alpha) = \frac{M(x)}{1 - \bar{\alpha} \bar{M}(x)}, \quad \bar{M}(x) = 1 - M(x), \quad \bar{\alpha} = 1 - \alpha \quad (3)$$

$$g(x; \alpha) = \frac{\alpha m(x)}{[1 - \bar{\alpha} \bar{M}(x)]^2} \quad (4)$$

ليكن لدينا دالة كتلة احتمالية exponential-G CDF، ودالة كثافة احتمالية PDF للعائلة

$$M(x; \theta) = 1 - e^{-\theta f(x)}, \text{ where, } \bar{M}(x; \theta) = e^{-\theta F(x)} \quad (5)$$

$$m(x; \theta) = \theta f(x) e^{-\theta F(x)} \quad (6)$$

عند تعويض معادلة (٥) و (٦) في معادلة (٣) و (٤) نحصل على عائلة MOE-G الجديدة:

$$G(x; \alpha, \theta) = \frac{1 - e^{-\theta F(x)}}{1 - \bar{\alpha} e^{-\theta F(x)}} \quad (7)$$

$$g(x; \alpha, \theta) = \frac{\alpha \theta f(x) e^{-\theta F(x)}}{[1 - \bar{\alpha} e^{-\theta F(x)}]^2} \quad (8)$$

نعرض معادلات (١) و (٢) في معادلات (٧) و (٨) على التوالي نحصل على التوزيع:

$$G(x; \alpha, \theta, \omega, b) = \frac{1 - e^{-\theta(1-e^{-\omega x})^b}}{1 - \bar{\alpha} e^{-\theta(1-e^{-\omega x})^b}} \quad (9)$$

$$g(x; \alpha, \theta, \omega, b) = \frac{\alpha \theta \omega b e^{-\omega x} (1 - e^{-\omega x})^b e^{-\theta(1-e^{-\omega x})^b}}{[1 - \bar{\alpha} e^{-\theta(1-e^{-\omega x})^b}]^2} \quad (10)$$

إن دالة البقاء تعطى بالشكل الآتي (SF) Survival function

$$S(x; \alpha, \theta, \omega, b) = 1 - G(x; \alpha, \theta, \omega, b)$$

$$S(x; \alpha, \theta, \omega, b) = 1 - \frac{1 - e^{-\theta(1-e^{-\omega x})^b}}{1 - \bar{\alpha} e^{-\theta(1-e^{-\omega x})^b}} \quad (11)$$

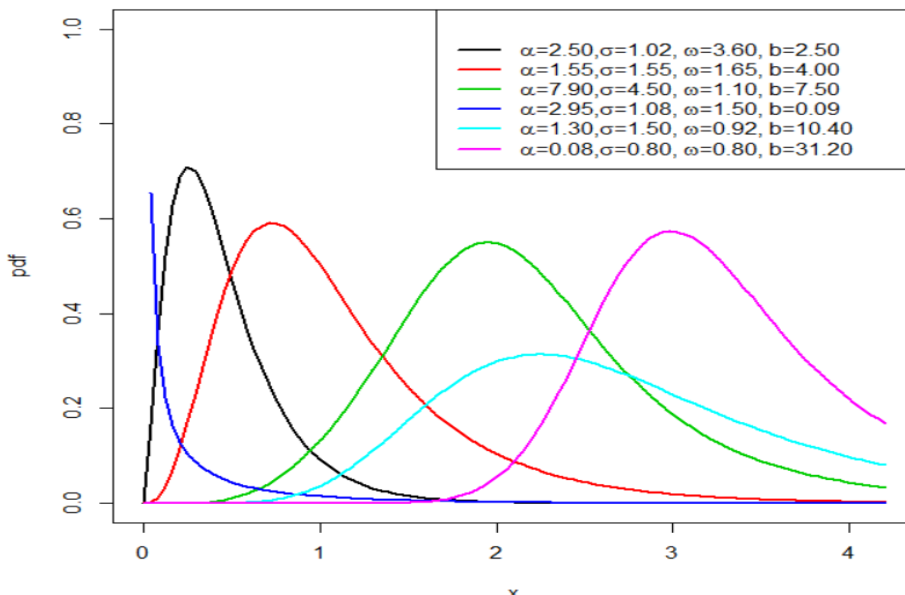
اما دالة المخاطرة تعطى بالشكل الآتي (hf) Hazard function:

$$h(x; \alpha, \theta, \omega, b) = \frac{g(x; \alpha, \theta, \omega, b)}{S(x; \alpha, \theta, \omega, b)}$$

$$h(x; \alpha, \theta, \omega, b) = \frac{\alpha \theta \omega b e^{-\omega x} (1 - e^{-\omega x})^b e^{-\theta(1-e^{-\omega x})^b}}{[1 - \bar{\alpha} e^{-\theta(1-e^{-\omega x})^b}]^2}$$

$$h(x; \alpha, \theta, \omega, b) = \frac{1 - e^{-\theta(1-e^{-\omega x})^b}}{1 - \frac{1 - e^{-\theta(1-e^{-\omega x})^b}}{1 - \bar{\alpha} e^{-\theta(1-e^{-\omega x})^b}}} \quad (12)$$

الشكل (١) يعرض بعض الرسومات لدالة PDF للتوزيع المقترن MOEEE باختيار قيم مختلفة لمعامل التوزيع حيث يظهر لدينا اشكال مختلفة تأخذ شكل معكوس J والالتواء من اليمين والمتناهى والالتواء من الايسار وكذلك الشكل الاحادي. حيث ان اغلب هذه الاشكال تكون ذات الالتواء موجب وتقطط بعدة اشكال مثل المدبب والمتوسط والمسطح بالاعتماد على تغير قيم المعامل.



الشكل (١): يعرض الاشكال المحتملة للتوزيع المقترن باستخدام قيم مختلفة للمعلمات.
 ٢. توسيع دالة الكثافة الاحتمالية **Expansion of PDF**: لغرض دراسة بعض الصفات والخصائص الاحصائية للتوزيع المقترن يأخذ بنظر الاعتبار توسيع PDF للتوزيع المقترن وذلك بأخذ معادلة (١٠) وتبسيطها. حيث يتم استخدام مفهوك سلسلة ثانوي الحدين عدة مرات (Merovci, et al., 2016) (Khaleel, et al., 2018) وكالاتي:
 ليكن لدينا:

$$(1-z)^{-k} = \sum_{j=0}^{\infty} \frac{\Gamma(k+j)}{\Gamma(k)j!} z^j$$

وباستخدام مفهوك ذي الحدين على المقام نحصل على:

$$[1 - \bar{\alpha} e^{-\theta(1-e^{-\omega x})^b}]^{-2} = \sum_{j=0}^{\infty} (j+1) \bar{\alpha}^j [e^{-\theta j(1-e^{-\omega x})^b}]$$

وبالاعتماد على الصيغة اعلاه يمكن تبسيط معادلة (١٠) الى الشكل الاتي:

$$\begin{aligned} g(x; \alpha, \theta, \omega, b) &= \alpha \theta \omega b e^{-\omega x} (1 - e^{-\omega x})^b \\ &\quad * e^{-\theta(1-e^{-\omega x})^b} \sum_{j=0}^{\infty} (j+1) \bar{\alpha}^j e^{-\theta j(1-e^{-\omega x})^b} \\ &= \alpha \omega b \sum_{j=0}^{\infty} \theta(j+1) \bar{\alpha}^j e^{-\omega x} (1 - e^{-\omega x})^b e^{-\theta(j+1)(1-e^{-\omega x})^b} \end{aligned}$$

وباستخدام مفهوك Exponential

$$e^{-xt} = \sum_{k=0}^{\infty} \frac{(-1)^k x^k t^k}{k!}$$

$$e^{-\theta(j+1)(1-e^{-\omega x})^b} = \sum_{k=0}^{\infty} \frac{(-1)^k [\theta(j+1)]^k (1-e^{-\omega x})^{bk}}{k!}$$

$$=\infty \omega b \sum_{j,k=0}^{\infty} \frac{\bar{\alpha}^j \partial(j+1) (-1)^k e^{-\omega x} [\partial(j+1)]^k}{k!} (1-e^{-\omega x})^{b(1+k)}$$

$$=\infty \omega b \sum_{j,k=0}^{\infty} \frac{\bar{\alpha}^j [\partial(j+1)]^{k+1} (-1)^k e^{-\omega x}}{k!} (1-e^{-\omega x})^{b(1+k)}$$

باستخدام مفهوك ذي الحدين مرة أخرى:

$$(1-z)^{b-1} = \sum_{i=0}^{\infty} (-1)^i \binom{b-1}{i} z^i$$

$$(1-e^{-\omega x})^{b(k+1)} = \sum_{i=0}^{\infty} (-1)^i \binom{b(k+1)}{i} e^{-\omega i x}$$

لنجصل على:

$$g(x; \alpha, \partial, \omega, b) = \infty \omega b \sum_{i,j,k=0}^{\infty} \frac{\bar{\alpha}^j [\partial(j+1)]^{k+1} (-1)^{i+k} \binom{b(k+1)}{i}}{k!} e^{-\omega(i+1)x}$$

$$g(x; \alpha, \partial, \omega, b) = \Psi_{i,j,k} \propto \omega b e^{-\omega(i+1)x} \quad (13)$$

بحيث ان:

$$\Psi_{i,j,k} = \sum_{i,j,k=0}^{\infty} \frac{\bar{\alpha}^j [\partial(j+1)]^{k+1} (-1)^{i+k} \binom{b(k+1)}{i}}{k!}$$

المعادلة (١٣) تعتبر هي المعادلة التي تستخدم في ايجاد الخواص الاحصائية والرياضية في هذا المبحث.

٣. الخصائص الرياضية:

١-٣. دالة التوزيع الكمي Quantile function: في النظرية الاحتمالية والاحصائية ترتبط دالة التوزيع الكمي (QF) بالتوزيع الاحتمالي للمتغير العشوائي لتحديد قيمة المتغير العشوائي ويمكن استخدامها في ايجاد الانتواء والتفلطح للتوزيعات التي لا تحتوي على عزوم وكذلك في توليد البيانات لدراسة المحاكاة. ان دالة QF يمكن استنتاجها كما يلي:
 بعكس المعادلة (٩) يمكن ايجاد دالة QF وكالاتي:

$$Q(u) = F^{-1}(x) = \frac{1 - e^{-\partial(1 - e^{-\omega x})^b}}{1 - \bar{\alpha} e^{-\partial(1 - e^{-\omega x})^b}}$$

لتكن:

$$M = e^{-\partial(1 - e^{-\omega x})^b}$$

$$\therefore u = \frac{1-M}{1-\bar{\alpha}M} \Rightarrow 1-M = u - u \bar{\alpha} M \Rightarrow 1-u = M - \bar{\alpha} u M$$

$$\Rightarrow 1-u = M(1-\bar{\alpha} u) \Rightarrow M = \frac{1-u}{1-\bar{\alpha} u}$$

و بالتعويض عن قيمة M نحصل على:

$$\begin{aligned}
 e^{-\partial(1-e^{-\omega x})^b} &= \frac{1-u}{1-\bar{\alpha} u} \Rightarrow \partial(1-e^{-\omega x})^b = -\ln\left(\frac{1-u}{1-\bar{\alpha} u}\right) \\
 (1-e^{-\omega x})^b &= \frac{-\ln\left(\frac{1-u}{1-\bar{\alpha} u}\right)}{\partial} \Rightarrow 1-e^{-\omega x} = \frac{-\ln\left(\frac{1-u}{1-\bar{\alpha} u}\right)^{\frac{1}{b}}}{\partial} \\
 e^{-\omega x} &= 1 - \left(\frac{-\ln\left(\frac{1-u}{1-\bar{\alpha} u}\right)}{\partial}\right)^{\frac{1}{b}} \Rightarrow \omega x = -\ln\left(1 - \left(\frac{-\ln\left(\frac{1-u}{1-\bar{\alpha} u}\right)}{\partial}\right)^{\frac{1}{b}}\right) \\
 &\therefore x = \frac{-\ln\left(1 - \left(\frac{-\ln\left(\frac{1-u}{1-\bar{\alpha} u}\right)}{\partial}\right)^{\frac{1}{b}}\right)}{\omega} \tag{14}
 \end{aligned}$$

ان الوسيط للتوزيع المقترن هو:

$$\text{Median} = \frac{-\ln\left(1 - \left(\frac{-\ln\left(\frac{0.5}{1-\bar{\alpha} 0.5}\right)}{\partial}\right)^{\frac{1}{b}}\right)}{\omega}. \tag{15}$$

معادلة (14) تستخدم في دراسة المحاكاة حيث ان $U \sim U(0,1)$ ولذلك لتوليد البيانات، كذلك تستخدم معادلة (14) للحصول على الربع الاول و الربع الثالث عندما $U=0.25$ و $U=0.75$ على التوالي (Abdullah et al., 2019) وكذلك يمكن الحصول على دالة الالتواء والتقطيع للتوزيع الاحصائي من المعادلة (14).

٣- العزوم Moments: لدراسة منحنيات التوزيعات التكرارية من حيث الالتواء والتقطيع او ايجاد مقاييس النزعة المركزية وبعض مقاييس التشتت يأتي دور العزوم كحجر زاوية لدراستها وذلك لأهميتها في قياس طبيعة البيانات وكذلك التعرف على سلوكها وخصائصها الاحصائية. يستخدم العزم للمرتبة (r^{th}) الامركزي او ما يعرف بالعزم حول نقطة الاصل (Khaleel et al., 2016) و يمكن ايجاد العزم r - للتوزيع المقترن بالشكل الاتي:

$$M_r = E(x^r) = \int_0^{\infty} x^r g(x; \alpha, \partial, \omega, b) dx$$

وباستخدام المعادلة (١٣) نحصل على:

$$\begin{aligned}
 M_r &= \int_0^{\infty} x^r \alpha \omega b \Psi_{i,j,k} e^{-\omega(i+1)x} dx \Rightarrow \\
 M_r &= \alpha \omega b \Psi_{i,j,k} \int_0^{\infty} x^r e^{-\omega(i+1)x} dx
 \end{aligned}$$

ليكن:

$$Y = \omega(i+1)x \Rightarrow x = \frac{y}{\omega(i+1)}, \Rightarrow dx = \frac{dy}{\omega(i+1)}$$

وبالتعويض في المعادلة السابقة باستخدام بعض العمليات الجبرية نحصل على:

$$= \infty \omega b \Psi_{i,j,k} \int_0^\infty \left(\frac{y}{\omega(i+1)}\right)^r e^{-y} \frac{dy}{\omega(i+1)} \Rightarrow M_r = \Psi_{i,j,k} \frac{\infty \omega b}{(\omega(i+1))^{r+1}} \int_0^\infty (y)^r e^{-y} dy \\ \therefore \int_0^\infty y^{r+1-1} e^{-y} dy = \Gamma(r+1) \Rightarrow M_r = \Psi_{i,j,k} \frac{\infty \omega b}{(\omega(i+1))^{r+1}} \Gamma(r+1)$$

وعليه يمكن كتابة العزوم بالصيغة التالية:

$$M_r = \Psi_{i,j,k} \frac{\infty \omega b \Gamma(r+1)}{(\omega(i+1))^{r+1}} \quad (16)$$

٣-٣. الدالة المولدة للعزوم (**Moment generating function**): من الجدير باللحظة انه يمكن الحصول على بعض مقاييس النزعة المركزية باستخدام العزوم وان الدالة المولدة للعزوم يمكن ايجادها بالصيغة الآتية:

$$M_x(t) = \int_0^\infty e^{tx} f(x) dx$$

و باستخدام الصيغة الاسية (Khaleel et al., 2017)

$$\therefore e^{tx} = \sum_{r=0}^{\infty} \frac{t^r x^r}{r!}$$

باستخدام المعادلة (١٦) نحصل على:

$$M_x(t) = \sum_{r=0}^{\infty} \frac{t^r}{r!} \omega b \Psi_{i,j,k} \frac{\Gamma(r+1)}{(\omega(i+1))^{r+1}}$$

وعليه يمكن كتابة الدالة المولدة للعزوم بالصيغة الآتية:

$$M_x(t) = \sum_{r=0}^{\infty} \frac{t^r \omega b \Psi_{i,j,k} \Gamma(r+1)}{r! (\omega(i+1))^{r+1}} \quad (17)$$

٣-٤. الإحصاءات المرتبة: **Order Statistics**: تدرس الإحصاءات المرتبة لأهميتها المتمثلة في دخولها في تطبيقات عده في مجالات الحياة اليومية والتي تمثل في ايجاد اعلى قيمة واقل قيمة كما لها تطبيقات في مجالات الانظمة العلمية بشكل عام نخص بالذكر منها اختبار الموثوقية والبقاء في الدراسات التي تخص المتنانة وكذلك في مراقبة الجودة كما ان لها تطبيقات حديثة مهمة في مجال معالجة الصور والكشف عن الرادارات، ويمكن الحصول على الإحصاءات المرتبة

(Oguntunde et al., 2019) Order Statistics كالتالي:

$$f_{\xi,n}(x) = \frac{n! g(x; \alpha, \theta, \omega, b)}{(\xi-1)! (n-\xi)!} [G(x; \alpha, \theta, \omega, b)]^{\xi-1} [1 - G(x; \alpha, \theta, \omega, b)]^{n-\xi} \quad (18)$$

وبتعويض المعادلة (١٣) والمعادلة (١٧) في المعادلة (٩) نحصل على المعادلة التالية:

$$f_{\xi,n}(x) = \frac{n!}{(\xi-1)!(n-\xi)!} [\Psi_{i,j,k} \omega b e^{-\omega(i+1)x}] \left[\frac{1 - e^{-\theta(1-e^{-\omega x})^b}}{1 - \bar{\alpha} e^{-\theta(1-e^{-\omega x})^b}} \right]^{h-1} * \left[1 - \frac{1 - e^{-\theta(1-e^{-\omega x})^b}}{1 - \bar{\alpha} e^{-\theta(1-e^{-\omega x})^b}} \right]^{n-h}$$

إذا عرضنا $\beta = \xi$ نحصل على أصغر احصاءه مرتبة:

$$f_{1,n}(x) = n [\Psi_{i,j,k} \omega b e^{-\omega(k+1)x}] \left[1 - \frac{1 - e^{-\theta(1-e^{-\omega x})^b}}{1 - \bar{\alpha} e^{-\theta(1-e^{-\omega x})^b}} \right]^{n-1}$$

إذا عرضنا $\beta = n$ نحصل على اكبر احصاءه مرتبة

$$f_{n,n}(x) = n [\Psi_{i,j,k} \omega b e^{-\omega(k+1)x}] \left[\frac{1 - e^{-\theta(1-e^{-\omega x})^b}}{1 - \bar{\alpha} e^{-\theta(1-e^{-\omega x})^b}} \right]^{n-1}$$

٤. طريقة الإمكان الأعظم (MLE): هناك عدة طرق للتقدير معالم التوزيع الاحصائي والاكثر شيوعا من هذه الطرق هي طريقة الامكان الاعظم (MLE) والتي تعتمد في مبدئها على دالة الامكان وفي ايجاد تقدير لقيمة المعلمة والتي يجعل الدالة في نهايتها العظمى، (Ibrahim et al., 2017).

لتكن لدينا x_1, x_2, \dots, x_n عينة عشوائية بحجم n من التوزيع المقترن (MOEEE)

ويمكن ايجادها دالة الامكان الاعظم بالشكل الاتي

$$g(x_1, x_2, \dots, x_n; \alpha, \theta, \omega, b) = \prod_{i=1}^n \left(\frac{\alpha \theta \omega b e^{-\omega x_i} (1-e^{-\omega x_i})^b \cdot e^{-\theta(1-e^{-\omega x_i})^b}}{[1 - \bar{\alpha} e^{-\theta(1-e^{-\omega x_i})^b}]^2} \right) \quad (19)$$

ولتكن L لوغاريتم دالة الامكان الاعظم فان:

$$\begin{aligned} L &= n \log(\alpha) + n \log(\theta) + n \log(\omega) + n \log(b) - \sum_{i=1}^n \omega x_i \\ &\quad + b \sum_{i=1}^n \log(1 - e^{-\omega x_i}) - \sum_{i=1}^n \theta(1 - e^{-\omega x_i})^b \\ &\quad - 2 \sum_{i=1}^n \log \left(1 - \bar{\alpha} e^{-\theta(1-e^{-\omega x_i})^b} \right) \end{aligned} \quad (20)$$

وبأخذ المشتقات الجزئية لمعامل التوزيع $b, \theta, \omega, \alpha$ ومساوياتها بالصفر نحصل على نظام من المعادلات المعقدة والتي من الصعوبة حلها بالطريقة التقليدية، لذلك نلجأ الى ايجادها عدديا باستخدام برنامج (R).

٥. الجانب التطبيقي: تم استخدام بيانات معدل الوفيات بسبب الادمان على العقاقير المخدرة المنشورة في تقرير الامم المتحدة والتي تم تصنيفها كمشكلة وصلت الى مرحلة الازمة وينبغي احاطتها بمزيد من الاهتمام وعليه تم اقتراح توزيع احصائي لبيان سلوكها ومحاولة دراسة خصائصه لتحجيمها. تم استخدام المعايير الاحصائية مثل:

❖ معيار اكاياك Akaike Information Criterion (AIC)

❖ معيار اكاياك المصحح Consistent Akaike Information Criterion (CAIC)

❖ معيار بيبيرز (*BIC*) .Bayesian information criterion (*BIC*)

❖ معيار هنان-كويين (*HQIC*) .Hannan-Quinn Information Criterion (*HQIC*)

على التوالي كما في المعادلات الآتية:

$$AIC = -2l + 2k, \quad BIC = -2l + k \log(n),$$

$$CAIC = AIC + \frac{2k(k+1)}{n-k-1}, \quad HQIC = 2\log[\log(n)(k-2l)]$$

حيث ان قيمة (*k*) تمثل عدد معالم التوزيع و قيمة (*n*) تمثل حجم العينة و قيمة (*l*) تمثل الامكان الاعظم للتوزيع. تم تقدير المعالم غير المعروفة للتوزيعات باستخدام طريقة الامكان الاعظم، وذلك باستخدام برنامج لغة (R) لإيجاد أفضل توزيع يطابق البيانات، وتم الاستعانة ببعض المعايير الاحصائية لعرض المقارنة بين التوزيعات. حيث ان أصغر قيمة لهذا المعايير الاحصائية تقابل أفضل توزيع يطابق البيانات. تم مقارنة التوزيع المقترن MOEEE مع عدة توزيعات مثل:

Marshall-Olkin Exponential Gompertz (MOEGo); Marshall-Olkin Exponential Burr XII (MOEBXII); Marshall-Olkin Exponential Lomax (MOELo); Marshall-Olkin Exponential-F (MOEF); Marshall-Olkin Exponential Chen (MOECh); Marshall-Olkin Exponential Exponential (MOEE).

ان الجدول (١) يمثل الوصف الاحصائي لبيانات الوفيات والتي يمكن استخدامها للتعرف على طبيعة البيانات وصفاتها والية توزيعها من حيث الشكل وذلك بالاعتماد على قيمة الالتواء Skew والتقطيع Kurtosis. ان قيمة الالتواء موجبة وهذا يدل على ان البيانات ذات التواء من جهة اليمين، اي ان عدد كثير من الوفيات قد حصلت أكثر من المتوسط بسبب العاققير المخدرة. وهذا بحد ذاته يمثل مشكلة كبيرة يجب معالجتها. اما بالنسبة للتقطيع فان قيمته موجب وهذا يعني ان البيانات ذات تقطيع رفيع Leptokurtic تكون قريبة من التوزيع الطبيعي، اي بمعنى ان المتوسط والوسيل للبيانات تكون متقاربة من حيث القيمة.

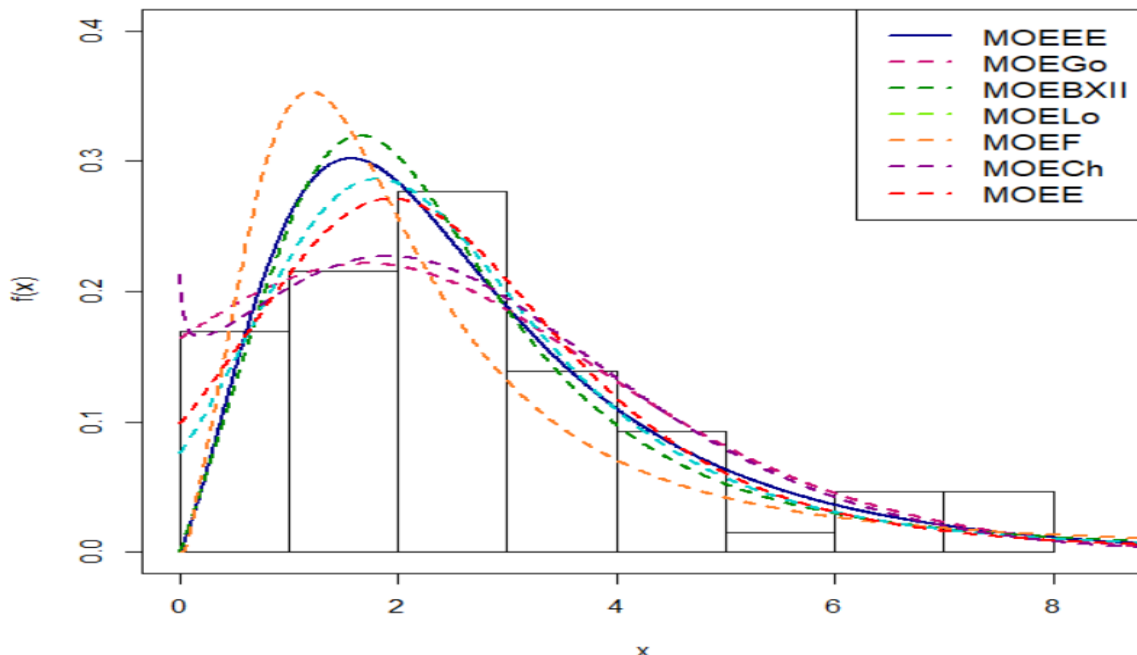
الجدول (١): وصف الاحصائي للبيانات

N	Mean	Median	S.D	Min	Max	Skew	Kurtosis
65	2.73	2.18	1.83	0.48	7.76	1.1	0.58

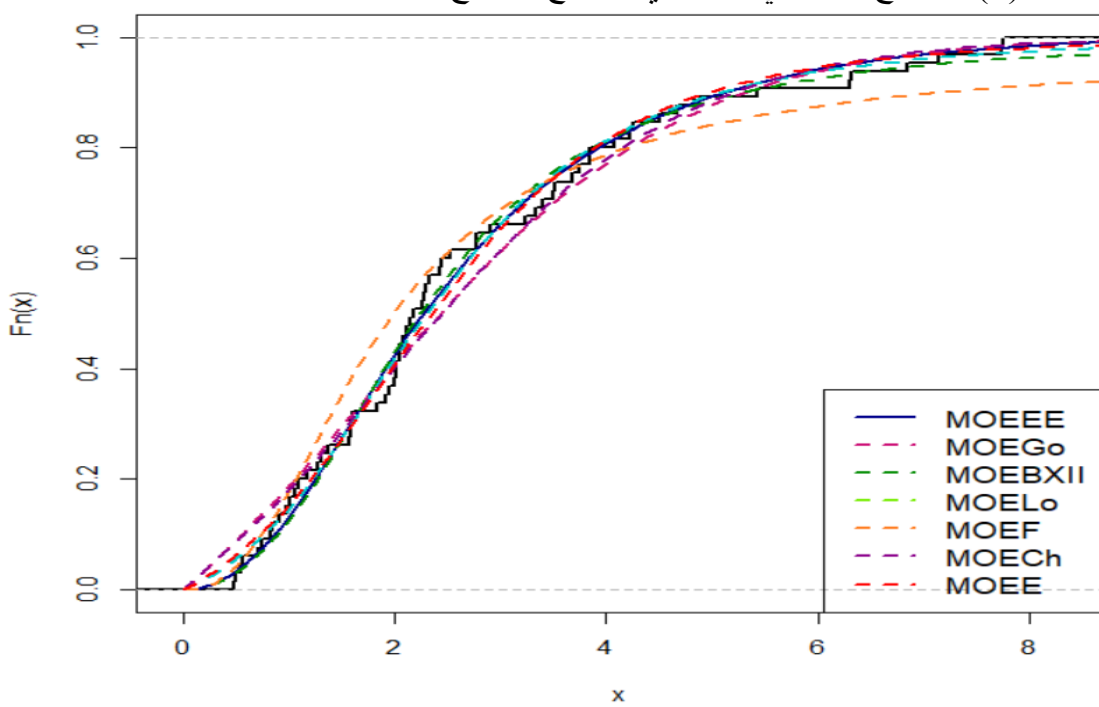
ان النتائج المحصل عليها في الجدول (٢) تبين ان التوزيع المقترن MOEEE قد اظهر أكثر مطابقة لبيانات معدل الوفيات بسبب الادمان على العاققير المخدرة كونه حقق اقل قيمة لهذه المعايير عند مقارنته بالتوزيعات الأخرى. وكذلك من خلال الشكل (٢) والشكل (٣) لبيانات الوفيات يتبين ان التوزيع المقترن هو أكثر مطابقة لهذه البيانات وعليه يمكن ان اختيار التوزيع المقترن هو الافضل لهذه البيانات.

**الجدول (٢): تقدير للمعلمات للتوزيعات مع المعايير الاحصائية
 (LL, AIC, CAIC, BIC, HQIC) لبيانات معدل الوفيات**

Distributions	Estimation	- l	AIC	CAIC	BIC	HQIC
MOEEE	$\hat{\alpha} = 0.2010$ $\hat{\theta} = 200.00$ $\hat{\omega} = 0.0189$ $\hat{b} = 2.2111$	118.94	245.88	246.55	254.58	249.31
Distributions	Estimation	- l	AIC	CAIC	BIC	HQIC
MOEGo	$\hat{\alpha} = 0.0553$ $\hat{\theta} = 2.6566$ $\hat{\omega} = 0.6568$ $\hat{b} = 0.0034$	122.82	253.65	254.31	262.34	257.08
MOEBXII	$\hat{\alpha} = 11.6582$ $\hat{\theta} = 52.5893$ $\hat{\omega} = 0.0273$ $\hat{b} = 2.0189$	120.68	249.37	250.04	258.07	252.80
MOELO	$\hat{\alpha} = 28.4088$ $\hat{\theta} = 22.4220$ $\hat{\omega} = 0.3371$ $\hat{b} = 0.2845$	121.28	250.56	251.23	259.26	253.99
MOEF	$\hat{\alpha} = 101.592$ $\hat{\theta} = 10.1189$ $\hat{\omega} = 38.4038$ $\hat{b} = 0.8682$	125.14	258.28	258.95	266.98	261.71
MOECh	$\hat{\alpha} = 0.0625$ $\hat{\theta} = 2.5170$ $\hat{\omega} = 0.8605$ $\hat{b} = 0.0031$	123.09	254.18	254.85	262.88	257.61
MOEE	$\hat{\alpha} = 13.4716$ $\hat{\theta} = 9.8596$ $\hat{\omega} = 0.1344$	121.77	249.54	249.93	256.06	252.11



الشكل (٢): المدرج والمنحنى التكراري للتوزيع المقترن والتوزيعات الأخرى لبيانات الوفيات



الشكل (٣): منحنى الدالة التراكمية للتوزيع المقترن وتوزيعات المقارنة لبيانات معدل الوفيات

٦. الاستنتاجات والتوصيات: من الواضح ان ارتفاع معدل الوفيات باستخدام العقاقير المخدرة يحتاج الى رؤية كبيرة من قبل المجتمع اولاً والحكومة ثانياً. لابد من تشديد دور الرقابي على المواد الطبيعية التي تحتوي على نسبة عالية من المواد المخدرة كون الفئة العرضي من المرضى لا يعرفون مخاطر استخدام هذه العقاقير وما ستؤدي اليه من نتائج سلبية في حال استمر اخذ هذا العلاج لفترة طويلة، قد تسبب له لإدمان ومن ثم الوفاة. ان معرفة سلوك هذه البيانات يعد دافعاً جيداً لتشجيع دور الرقابي على العقاقير والحد من استيرادها وتوسيعية مستخدميها.

ان النموذج المقترن يعد توزيعاً مثالياً وذلك من خلال دراسة البيانات ومقارنته مع توزيعات أخرى. حيث تبين ان التوزيع المقترن يمثل أفضل حسن مطابقة للبيانات مقارنة مع توزيعات أخرى باستخدام بعض المعايير الإحصائية لعرض المقارنة، وذلك من خلال حصول التوزيع المقترن على أقل قيم. لهذا نوصي الباحثين على توظيف الطرق الجديدة في دراسة وتحليل البيانات باستخدام هكذا نوع من التوزيعات وأيضاً اجراء توسيع لتوزيع المقترن.

المصادر

اولاً. المصادر العربية:

١. مكتب الأمم المتحدة المعنى بالمخدرات والجريمة، تقرير المخدرات العالمي، (٢٠١٤)، (منشورات الأمم المتحدة، رقم المبيع A.14.x1.7).
٢. عبدالحميد، مظہر خالد. خلیل، منذر عبدالله. عبده الله، زياد محمد، (٢٠١٨)، دعم القرار الاستثماري في القطاع الصحي باستخدام الاساليب المعلمیة" مجلة تكريت للعلوم الادارية والاقتصادية/المحور الاحصائي، المجلد (٣)، ج ٢ العدد (خاص).

ثانياً. المصادر الأجنبية:

1. Abdullah, Z. M., Khaleel, M. A., Abdal-hameed, M. K., & Oguntunde, P. E., (2019), Estimating Parameters for Extension of Burr Type X Distribution by Using Conjugate Gradient in Unconstrained Optimization. Kirkuk university journal for scientific studies, 14 (3), 33-49.
2. AbuJarad, M. H., Khan, A. A., Khaleel, M. A., AbuJarad, E. S., AbuJarad, A. H., & Oguntunde, P. E., (2019), Bayesian Reliability Analysis of Marshall and Olkin Model. Annals of Data Science, 1-29.
3. Ahmedd, M. T., (2019), Exponential Distribution (Topp Leone Marshall-Olkin) Properties with Application. Tikrit Journal of Administration and Economics Sciences, 15 (47 Part 2), 242-255.
4. Ibrahim, N. A., Khaleel, M. A., Merovci, F., Kilicman, A., & Shitan, M., (2017), WEIBULL BURR X DISTRIBUTION PROPERTIES AND APPLICATION. Pakistan Journal of Statistics, 33 (5).
5. Khaleel, M. A., Abdal-hammed, M. K., Loh, Y. F., & Ozel, G., (2019), A new uniform distribution with bathtub-shaped failure rate with simulation and application. Mathematical Sciences, 1-10.
6. Khaleel, M. A., Ibrahim, N. A., Shitan, M., & Merovci, F., (2016, June), Some properties of Gamma Burr type X distribution with application. In AIP Conference proceedings (Vol. 1739, No. 1, p. 020087), AIP Publishing.
7. Khaleel, M. A., Ibrahim, N. A., Shitan, M., & Merovci, F., (2018), New extension of Burr type X distribution properties with application. Journal of King Saud University-Science, 30 (4), 450-457.
8. Khaleel, M. A., Ibrahim, N. A., Shitan, M., Merovci, F., & Rehman, E., (2017), Beta burr type x with application to rainfall data. Malaysian Journal of Mathematical Sciences, 11, 73-86.

9. Marshall, A. N., Olkin, I.. (1997) A new method for adding a parameter to a family of distributions with applications to the exponential and Weibull families, *Biometrika* 84, 641-652.
10. Maxwell, O., Chukwu, A. U., Oyamakin, O. S., & Khaleel, M. A., (2019), The Marshall-olkin Inverse Lomax Distribution (MO-ILD) with Application on Cancer Stem Cell. *Journal of Advances in Mathematics and Computer Science*, 1-12.
11. Merovci, F., Khaleel, M. A., Ibrahim, N. A., & Shitan, M., (2016), The beta Burr type X distribution properties with application. *SpringerPlus*, 5 (1), 697.
12. Oguntunde, P. E., Adejumo, A. O., Khaleel, M. A., Owoloko, E. A., Okagbue, H. I., & Opanuga, A. A., (2017, July), A Useful Extension of the Inverse Exponential Distribution. In *The World Congress on Engineering* (pp. 109-119). Springer, Singapore.
13. Oguntunde, P. E., Khaleel, M. A., Adejumo, A. O., & Okagbue, H. I., (2018), A study of an extension of the exponential distribution using logistic-x family of distributions. *International Journal of Engineering & Technology*, 7(4), 5467-5471.
14. Oguntunde, P. E., Khaleel, M. A., Adejumo, A. O., Okagbue, H. I., Opanuga, A. A., & Owolabi, F. O. (2018). The Gompertz Inverse Exponential (GoIE) distribution with applications. *Cogent Mathematics & Statistics*, 5 (1), 1507122.
15. Oguntunde, P. E., Khaleel, M. A., Okagbue, H. I., & Odetunmibi, O. A., (2019), The Topp-Leone Lomax (TLLo) Distribution with Applications to Airbone Communication Transceiver Dataset. *Wireless Personal Communications*, 1-12.